

بررسی عوامل مؤثر بر سنتز کامپوزیت مولایت-زیرکونیای

شکل داده شده توسط فرایند ریخته‌گری ژلی

نصیبیه میعادی، حسین سرپولکی* و حسین قصاعی
دانشکده مهندسی مواد و متالورژی، دانشگاه علم و صنعت ایران

(دریافت مقاله: ۱۳۹۰/۱۲/۰۸ - دریافت نسخه نهایی: ۱۳۹۱/۰۴/۳۱)

- چکیده -

(%)



Investigation of Effective Parameters In the Synthesis of Mullite – Zirconia Composite Formed by Gel Casting Process

N. Miadi, H. Sarpoolaky and H. Ghassai

1. Department of Materials and Metallurgical Engineering, Iran University of Science and Technology

Abstract: In this study, mullite– zirconia composite samples were prepared by reaction sintering of alumina and zircon powder via gel casting process. Gel casting is a new ceramic forming technique. This process is based on the casting of slurry, containing ceramic powder, dispersant and premix monomer solution. To achieve stabilized, high solid loading (80 wt%) and castable slurry,

*: مسئول مکاتبات، پست الکترونیکی: hsarpoolaky@iust.ac.ir

the rheological properties of slurry were optimized. The monomers polymerized the slurry to form gelled specimens. After gelation, the specimens were unmolded, then dried out under controlled condition. Burning out and sintering of the specimens was carried out in the range of 1400-1700°C. Apparent porosity and bulk density of the sintered samples were measured by soaking in water. Crystalline phase evolution and microstructure were determined by XRD and SEM techniques. Results showed that the reaction sintering and mullite formation was completed at 1700°C due to very slow diffusion of Al³⁺ ions within amorphous silica formed at the decomposition of zircon. The sintered samples at this temperature also showed the lowest apparent porosity (~4%) and the highest bulk density (~3.40 gr/cm³).

Keywords: Mullite-zirconia composite, Gel casting, Reaction sintering

۱- مقدمه

شده سیستم [۳]، ZrO₂-Al₂O₃-SiO₂ [۳]، پلاسمای گرمایی [۵]

فرایند تلقیح [۶] و غیره از روش‌های تولید این کامپوزیت‌های است. در میان این روش‌ها زیتر واکنشی مخلوط‌های مولايت - زیرکونیا، به دلیل هزینه کم مواد اولیه و فرایند تولید و سادگی آن، از متداول‌ترین روش‌ها به شمار می‌رود [۴].

در تحقیق حاضر برای شکل دهنده قطعات کامپوزیت مولايت - زیرکونیا از فرایند جدید ریخته گری ژلی^۵ استفاده شد. ریخته گری ژلی فرایندی است مشتق شده از فرایندهای سرامیکی سنتی و شیمی پلیمر. قلب این تکنولوژی استفاده از یک محلول منومری آلی است که می‌تواند به ژلی مستحکم پلیمریزه شود. برای ایجاد شکل‌های پیچیده، دوغابی از پودر سرامیکی و محلول منومری آبی می‌تواند به آسانی درون قالب‌هایی ریخته شود. محلول منومری در دوغاب پلیمریزه می‌شود و همراه پیوندهای عرضی، ژل پلیمر- آب تشکیل می‌دهد که به طور پایدار ذرات سرامیکی را به شکل قالب ثابت نگه می‌دارد.

قطعه در حالی که همچنان تر است از قالب خارج و خشک می‌شود. بعد از خشک کردن، پلیمر خاوی پیوند ساز عرضی طی عملیات گرمایی استاندارد (خروج بایندر) خارج می‌شود. در بدنه خشک شده تنها ۲ تا ۴ درصد وزنی پلیمر (برپایه وزن پودر سرامیکی) وجود دارد، که مشابه مقدار موجود پلیمر در بدنه‌های پرس خشک شده است. همچنین استحکام خام بالا که قابل مقایسه با قطعات پرس شده است، امکان ماشین کاری خام این بدنه‌ها را فراهم می‌کند. میزان انقباض خام آن برای قطعات با بار جامد بالا بسیار کم است. همچنین در بدنه

کامپوزیت‌های مولايت - زیرکونیا^۱ در بسیاری از کاربردهای صنعتی پیشرفت، نظری سیستم‌های محافظه گرمایی برای محافظه احتراق موتورهای هواییما و توربین‌های گازی ثابت، مجراهای گرم کن مخصوص کارهای سنگین، مبدل‌های گرمایی، فیلترهای گازی داغ و دیگر موارد، کاربرد دارند. این دیرگدازها در تغذیه کننده‌های پیش گرم و کوره‌های ذوب شیشه به عنوان موادی که در تماس با شیشه هستند، مانند ناودآن‌ها، لوله‌ها و غیره کاربرد دارند. گستردگی وسیع این دسته از مواد به دلیل مقاومت به شوک گرمایی بالا و نیز مقاومت به خوردگی عالی این مواد در نتیجه حضور زیرکونیا و ریزساختاری است که بسیار کم توسط مذاب سیلیسی و فلزی تر می‌شوند. حضور ذرات زیرکونیا در مولايت منجر به تقویت زمینه مولايتی می‌شود و خواص ترمومکانیکی آن را بهبود می‌بخشد [۱]. زیرکونیا در فشار محیط پلی مورف است. در دماهای بالا (۲۳۷۰°C^۶) ساختار مکعبی (c) (فلوریت)، در دماهای میانی (۱۲۰۰-۲۳۷۰°C^۷) ساختار تراگونال (t)، و ساختار منوکلینیک (m) (۹۵۰°C^۸) دارد. استحاله m → t در زیرکونیای خالص، حین سرمایش در دمای ۹۵۰°C MS آغاز می‌شود و حین گرمایش در دمای ۱۱۵۰°C AS برگشت پذیر است [۲].

روش‌های مختلفی برای تولید کامپوزیت‌های مولايت - زیرکونیا به کار می‌رود. زیتر مخلوط‌های مولايت و زیرکونیا، زیتر واکنشی مخلوط‌های ZrO₂ و مواد اولیه مولايتی یا زیتر واکنشی^۲، SiO₂، Al₂O₃ و [۳] ZrO₂ زیتر واکنشی زیرکن^۳ (ZrSiO₄) و آلومنیا^۴ (Al₂O₃)، تبلور مذاب سریع سرد

جدول ۱- ترکیب نمونه‌ها

مواد	$\text{Al}_2\text{O}_3 + \text{ZrSiO}_4$	Darvan S*7	آب	AM+ MBAM
٪ وزنی	۸۰	۰/۰۸	۱۶/۹۳	۲/۹۹

ترکیب نمونه‌ها ذکر شده است.

۲-۲- روند انجام آزمایش

ابتدا برای تولید کامپوزیت مولایت - زیرکونیا و تشکیل مولایت استوکیومتری، پودرهای آلومینا و زیرکن، با نسبت $۴۶/۶$ به $۵۳/۴$ ٪ وزنی توزین شدن. برای اختلاط مناسب و ایجاد بدندهایی با ریز ساختار یکنواخت مخلوط پودرهای اولیه به مدت ۱ ساعت در آسیاب گلوله‌ای از جنس تفلون و با گلوله‌های آلومینایی تحت آسیاب ترا واقع شدن. دوغاب حاصل خشک و الک شد و پودر همگنی از آلومینا و زیرکن حاصل شد. پیش از انجام فرایند ریخته‌گری ژلی، برای دسترسی به دوغاب‌هایی پایدار با بار جامد بالا و ویسکوزیته مناسب، pH دوغاب و مقدار پراکنده ساز بهینه شد. مقادیر زتا پتانسیل دوغاب‌های بسیار رقیق آلومینا - زیرکن توسط دستگاه زتا سایزر (مدل ۳۰۰۰ C1330 HS-) از طریق اندازه‌گیری تحرک الکتروفورتیکی در محدوده $۱-۱۱$ pH و طبق معادله هنری محاسبه شد. pH دوغاب‌ها توسط HCl و NaOH تنظیم شد. سپس در pH بهینه خواص رئولوژیکی دوغاب‌ها با دستگاه رئومتر چرخشی بررسی شد.

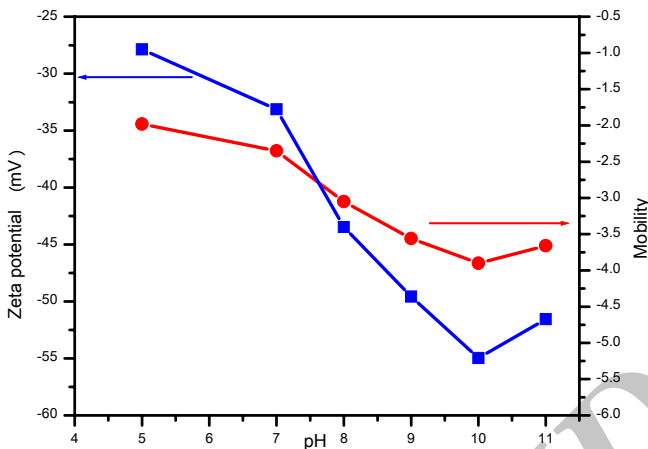
برای فرایند ریخته‌گری ژلی، ابتدا محلول منومری با غلاظت ۱۵ ٪ وزنی از $\text{AM} - \text{AM}$ و $\frac{6}{1}$ MBAM در آب مقطر تهیه شد. سپس پراکنده ساز به میزان مناسب به محلول منومری افزوده شد. پودر سرامیکی حاصل از آسیاب به آرامی به محلول منومری افزوده شد. برای ایجاد دوغابی همگن، دوغاب حاصل از فرایند فوق به مدت ۲ ساعت در آسیاب گلوله‌ای مخلوط شد. سپس به منظور شکستن آگلومرها و حذف حباب‌های هوای حبس شده در دوغاب، دوغاب به مدت ۱۰ دقیقه تحت عملیات اولتراسونیک قرار گرفت. در مرحله بعد محلول‌های از پیش تهیه شده شامل APS و TEMED تین همزدن به دوغاب افزوده شدن. دوغاب‌ها در قالب‌های پلاستیکی ریخته‌گری شدن. برای تسريع در ژل شدن نمونه‌ها در دمای حدود 60°C نگهداری شدن. پس از ژل شدن و خروج از قالب بعد از ۱۲

کانال‌های متخلخلی (که حین مرحله خشک شدن به وجود آمده‌اند) برای مهاجرت مواد به سطح حین پخت وجود دارد، بنابراین از ایجاد تنفس و در نتیجه بادکردگی و ترک در بدن ممانعت می‌شود [۸]. با توجه به مزایای این فرایند، در این تحقیق برای شکل‌دهی قطعات خام اولیه مشکل از پودرهای آلومینا و زیرکن به عنوان مواد اولیه، از فرایند ریخته گری ژلی استفاده شد. نمونه‌های شکل داده شده در دماهای مختلف زینتر شدن. سپس نوع و میزان فازهای تشکیل شده، ریزساختار نمونه‌ها، دانسیته کلی و تخلخل ظاهری نمونه‌های زینتر شده در دماهای مختلف مورد بررسی قرار گرفت.

۲- روش تحقیق

۱- مواد اولیه

در تحقیق حاضر، از پودر آلومینای راکتیو^۶ (Alcoa) با خلوص $۹۹/۵$ ٪ و متوسط اندازه ذرات $1\text{ }\mu\text{m}$ و پودر Zirciosil ۵ Cookson (تولید شده توسط شرکت انگلیس) با متوسط اندازه ذرات $5\text{ }\mu\text{m}$ به عنوان مواد خام سرامیکی، پلی‌متاکربلات سدیم^۷ (R.T.vanderbilt U.S.A) (Darvan S*7)، به عنوان پراکنده ساز^۸، و برای ریخته گری ژلی از منومر^۹ اکریلامید^{۱۰} (AM , $\text{C}_2\text{H}_3\text{CONH}_2$)، و پیوند ساز عرضی^{۱۱} متیلن (Merck), بیسکریلامید^{۱۲} (MBAM , $(\text{CH}_2=\text{CHCONH})_2\text{CH}_2$) استفاده شد. برای انجام فرایند پلیمریزاسیون نیز، آمونیوم پرسولفات^{۱۳} (APS , $(\text{NH}_4)_2\text{S}_2\text{O}_8$)، (Merck) به عنوان آغازگر رادیکال آزاد^{۱۴} و برای تسريع فرایند پلیمریزاسیون تترامتیلن اتیلن دی‌آمین^{۱۵} (TEMED) ($(\text{CH}_3)_2\text{NCH}_2\text{CH}_2\text{N}(\text{CH}_3)_2$)، (Merck) به عنوان کاتالیزور^{۱۶} به کار گرفته شد. در جدول (۱)



شکل ۱- تغییرات پتانسیل زتا و تحرک الکتروفورتیکی دوغاب‌های آلمینا-زیرکن در pH های مختلف

۳- نتایج و بحث

۳-۱- تأثیر pH بر رئولوژی دوغاب

تغییرات پتانسیل زتا^{۱۹} و تحرک الکتروفورتیکی دوغاب‌های حاوی مخلوط آلمینا و زیرکن در محدوده pH = ۵-۱۱ شکل (۱) نشان داده شده است. پتانسیل زتا عامل تعیین کننده دفع و یا جذب ذرات درون دوغاب است و به طور کلی مرز پایداری و ناپایداری دوغاب را می‌توان بر حسب پتانسیل زتا مشخص کرد. با توجه به شکل در pH = ۱۰ مقدار پتانسیل زتا حداقل است و بنابراین دوغاب در این pH بیشترین پایداری را دارد.

۳-۲- تأثیر پراکنده ساز بر رئولوژی دوغاب

شکل (۲) تغییرات ویسکوزیته دوغابهای آلمینا-زیرکن را بر حسب غلظت‌های مختلف پراکنده ساز نشان می‌دهد. مقادیر پراکنده ساز بر حسب درصد وزنی پودر اولیه تنظیم شده است. در این تحقیق به منظور دستیابی به دوغابی با بار جامد بالا (۸۰٪ وزنی یا ۵۱٪ حجمی) از ۷ Darvan S* است. اغلب منورهای ریخته گری ژلی غیر یونی هستند و بر سطح پودر سرامیکی جذب نمی‌شوند، بنابراین، در فرایند پراکنده سازی شرکت نمی‌کنند. از این رو در این تحقیق نیز که از AM و MBAM استفاده شد،

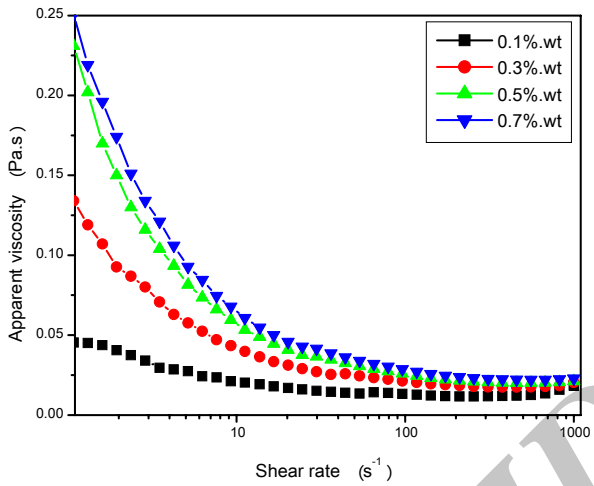
ساعت، نمونه‌ها به مدت ۲۴ ساعت در دمای محیط نگه‌داری شدند. در مرحله بعد برای خشک شدن کامل نمونه‌ها در دمای حدود ۱۲۰°C برای مدت زمان کافی در خشک کن قرار گرفتند. سپس نمونه‌های خام در محدوده دمایی ۱۴۰۰-۱۷۰۰°C با سرعت گرمایش ۵ °C/min تحت عملیات پخت قرار گرفتند. سپس تخلخل و دانسیته، تحلیل فازهای تشکیل شده و ریز ساختار نمونه‌های زیتر شده مورد بررسی قرار گرفت. همچنین مقدار فازهای تشکیل شده بر اساس قله‌های اصلی هر فاز تعیین شد. قله‌های مورد مطالعه، آلمینا (1 1 3)، مولایت (0 1 0)، زیرکونیا منوکلینیک^{۱۷} (1 1 1) و (1 1 1) و زیرکونیای تتراگونال^{۱۸} (1 1 1) بودند [۹ و ۱۰]:

$$X_1 = \frac{I\{mullite(210)\}}{I\{mullite(210)\} + I\{Al_2O_3(113)\}} \times 100$$

$$X_2 = \frac{I\{m-ZrO_2(1\bar{1}1)\}}{(I\{m-ZrO_2(1\bar{1}1)\} + I\{ZrSiO_4(200)\})} \times 100$$

$$X_3 = \frac{I\{t-ZrO_2(111)\}}{(I\{t-ZrO_2(111)\} + I\{m-ZrO_2(1\bar{1}1)\})} + I\{m-ZrO_2(1\bar{1}1)\} \times 100$$

در روابط فوق X_1 معیاری از درصد مولایت تشکیل شده، X_2 درصد تجزیه زیرکن، و X_3 درصد زیرکونیای تتراگونال باقی مانده است.



شکل ۲- ویسکوزیته ظاهری دوغاب‌های آلومینا- زیرکن در مقادیر مختلف پراکنده ساز *Darvan S*

فاز مولایت در پایدارترین حالت خود ($3\text{Al}_2\text{O}_3\text{-}2\text{SiO}_2$) حاصل می‌شود. همچنین فاز آمورف ناپایدار $\text{mAl}_2\text{O}_3\text{-nSiO}_2$ به عنوان مولایت غیر بلوری نیز تشکیل می‌شود. مولایت آمورف در دماهای بالاتر به مولایت بلوری تبدیل می‌شود. در شکل (۳) الگوی پراش اشعه X نمونه‌های زیتر شده در محلودهی دمایی $1400\text{-}1700^\circ\text{C}$ است.

مطابق شکل (۳)، در دمای 1400°C تنها قله‌های مربوط به فازهای زیرکن و آلومینا مشاهده می‌شود که بیانگر عدم تجزیه زیرکن در این دما است. در دمای 1500°C ، قله‌های جزیی زیرکونیای منوکلینیک مشاهده می‌شود. این موضوع بر تجزیه جزیی زیرکن دلالت دارد. دمای شروع تجزیه زیرکن طبق نمودار فازی $\text{ZrO}_2\text{-SiO}_2$ ، حدود 1675°C است. اما حضور ناخالصی‌ها در پودرهای اولیه و همچنین حضور Al_2O_3 در کنار زیرکن، به طور آشکاری دمای تجزیه را آن کاهش می‌دهد [۱]. بنابراین در این جا مشاهده می‌شود، طبق تأثیر ناخالصی‌های مواد اولیه و حضور ذرات آلومینا حول ذرات زیرکن، دمای تجزیه زیرکن به 1500°C کاهش پیدا کرده است. اما همچنان قله‌های تیز زیرکن و آلومینا در این دما رؤیت می‌شوند، که بیانگر سرعت بسیار کم واکنش‌ها در این دماست. همچنین بر اثر تجزیه زیرکن سیلیس آمورف تشکیل می‌شود:

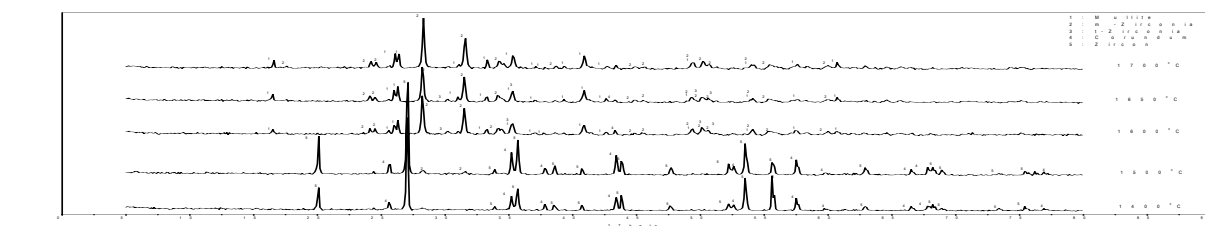
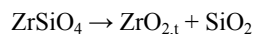
محلول متومری اولیه تأثیری بر نوع و مقدار پراکنده ساز مورد استفاده ندارد [۷].

با توجه به شکل (۲)، حداقل ویسکوزیته در مقدار ۰/۱ درصد وزنی پراکنده ساز حاصل می‌شود.

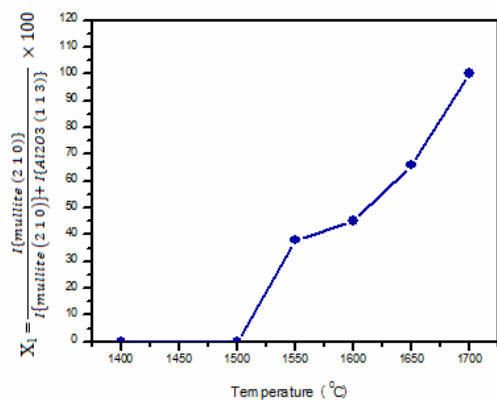
۳-۳-۱- بررسی خواص نمونه‌های زیتر شده

همان‌طور که اشاره شد، برای تهیه کامپوزیت مولایت- زیرکونیا در این تحقیق از زیتر واکنشی مخلوط پودرهای آلومینا و زیرکن استفاده شده است. بر اثر واکنش در حالت جامد بین آلومینا و زیرکن، فازهای ZrO_2 بلوری منوکلینیک و تتراگونال (t-ZrO_2 و m-ZrO_2)، مولایت بلوری اورتورومبیک (اغلب ترکیب $\text{Al}_2\text{O}_3\text{-}\text{SiO}_2$)، Al_2O_3 بلوری رومبوهدراال، فاز آلومینا سیلیکات آمورف (مولایت غیر بلوری)، سیلیس آمورف و تخلخل تشکیل می‌شود.

نخستین گام برای انجام واکنش، تجزیه زیرکن در حالت جامد حول ذرات آلومینا و تشکیل زیرکونیای تتراگونال و سیلیس آمورف است. SiO_2 آمورف تشکیل شده از واکنش تجزیه زیرکن نیز منجر به اتحال ذرات Al_2O_3 و نفوذ یون Al^{3+} در فاز غیر بلوری سیلیس می‌شود [۱۰]. در این مرحله



شکل ۳-الگوی پراش اشعه X نمونه های زیتر شده در محدوده دمایی ۱۴۰۰-۱۷۰۰°C



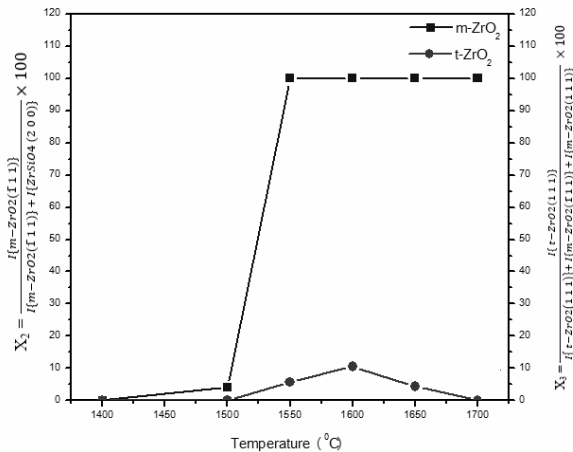
شکل ۴- مقدار مولایت تشکیل شده در دماهای مختلف زیتر

۱۶۰۰°C نیز مشاهده می شود، که مطابق با نتایج سایر تحقیقات نیز است [۹]. زیرا فرایند انحلال Al_2O_3 و نفوذ یون های Al^{3+} بسیار آهسته است. البته یون های Si^{4+} نیز از فاز سیلیس آمورف نیز نفوذ می کنند و فرایند با حضور Si بین دانه های Al_2O_3 پیش می رود [۱۰].

در شکل های (۴) و (۵) مقدار تشکیل فاز های مختلف با افزایش دما در محدوده ۱۴۰۰-۱۷۰۰°C نشان داده شده است. مطابق شکل (۴)، در دماهای ۱۴۰۰ و ۱۵۰۰°C هیچ فاز مولایتی تشکیل نشده است. با افزایش دما کسر مولایت افزایش می یابد. در محدوده دمایی ۱۵۰۰°C تا ۱۵۵۰°C سرعت تشكیل مولایت زیاد است؛ و در محدوده دمایی ۱۵۵۰°C تا ۱۶۰۰°C این سرعت کاهش می یابد. دلیل این موضوع تشكیل لایه نازک مولایتی حول دانه های آلومینایی است. این لایه مانع از توسعه فاز مولایت می شود، زیرا از این مرحله به بعد تشكیل بیشتر فاز مولایت بستگی به نفوذ Al_2O_3 از لایه مولایتی و

علی رغم تشکیل سیلیس آمورف ناشی از تجزیه زیرکن، قله های مربوط به مولایت مشاهده نمی شود. این موضوع نیز بیانگر عدم واکنش فوری سیلیس آمورف با Al_2O_3 است.

نکته قابل توجه دیگر این است که برای نمونه های زیتر شده در دمای ۱۵۰۰°C، تنها فاز زیرکونیای منوکلینیک مشاهده می شود و فاز زیرکونیای تراگونال ناشی از تجزیه زیرکن برای این نمونه تا دمای محیط باقی نمی ماند و تمامی آن حین سرماشی به زیرکونیای منوکلینیک تبدیل می شود، که مطابق با نتایج سایر تحقیقات نیز است [۹]. با افزایش دما تا ۱۶۰۰°C سرعت واکنش ها زیاد می شود. برای نمونه زیتر شده در این دما، سریع ترین گام واکنش تجزیه زیرکن است، و انحلال Al_2O_3 در سیلیس آمورف و تشكیل مولایت کندترین مرحله است [۱۰]. همچنین در این دما تجزیه زیرکن و تشكیل زیرکونیا به طور کامل اتفاق می افتد و قله های مربوط به زیرکن مشاهده نمی شود. اما قله های آلمینا حتی تا دمای C



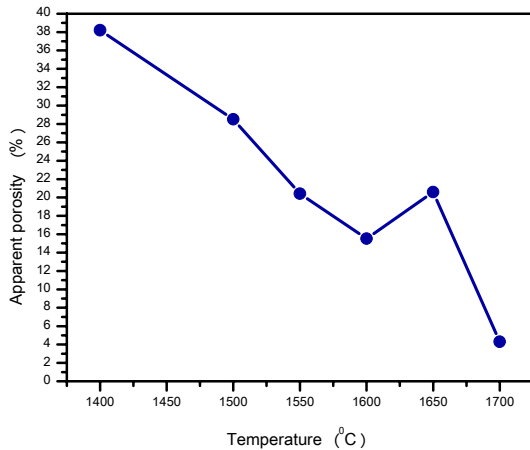
شکل ۵ - مقدار زیرکونیای منوکلینیک تشکیل شده و زیرکونیای تراگونال باقی مانده در دماهای مختلف زیتر

کلی حضور زیرکونیا نیز در زمینه مولاپیتی باعث بهبود زیتر و انجام واکنش‌ها می‌شود. زیرکونیای آزاد شده از تجزیه زیرکن، به عنوان مراکز جوانه زنی برای تشکیل مولاپیت عمل می‌کند و منجر به تسریع انجام واکنش‌ها می‌شود [۴]. مطابق شکل (۵) علی‌رغم تشکیل $m\text{-ZrO}_2$ در دمای 150°C ، کسر $t\text{-ZrO}_2$ -باقی مانده برای نمونه زیتر شده در این دما صفر است. با افزایش دما تا 155°C متناظر با افزایش زیرکونیای منوکلینیک، کسر زیرکونیای تراگونال باقی مانده افزایش می‌یابد و در 160°C به حداقل می‌رسد. سپس با افزایش دما این کسر کاهش می‌یابد و برای نمونه‌ی زیتر شده در 170°C این مقدار به صفر می‌رسد.

۳-۲- تخلخل و دانسیته‌ی نمونه‌های زیتر شده
تخلخل و دانسیته‌ی نمونه‌های زیتر شده، در گام اول بستگی به بار جامد دوغاب اولیه و مقدار مواد آلی نمونه‌ها دارد. در تحقیق حاضر بار جامد تمامی نمونه‌ها یکسان (80% وزنی یا 51% حجمی) بود. همچنین مقدار منومر AM و پیوندساز عرضی MBAM و نسبت آن‌ها و نیز مقدار آغازگر TEMED و APS ثابت انتخاب شد. بنابراین در این تحقیق تنها به بررسی تغییرات تخلخل و دانسیته‌ی نمونه‌ها با دمای زیتر

انحلال آن در SiO_2 آمورف دارد [۱۲]. همان طور که مشاهده می‌شود، تا دمای 160°C ، کسر مولاپیت تشکیل شده تنها 40% است، که بیانگر عدم واکنش کامل آلومینا با سیلیس آمورف است. دلیل دیگر کم بودن کسر مولاپیت، تشکیل مولاپیت غیر بلوری پیش از مولاپیت بلوری است، که احتمالاً این تبدیل در این دما به طور کامل رخ نداده است. در تحقیقات دیگری نیز مولاپیت تشکیل شده از زیتر واکنشی آلومینا-زیرکن در این دما به همین میزان بود [۹-۱۲]. در این دما با افزایش دما تا 165°C مجدداً سرعت تشکیل مولاپیت افزایش می‌یابد و در 170°C کسر مولاپیت تشکیل شده به 100% می‌رسد. این تغییر می‌تواند ناشی از امکان نفوذ بیشتر Al_2O_3 از لایه مولاپیتی بر اثر افزایش دما یا تشکیل مولاپیت بلوری از مولاپیت آمورف باشد.

در شکل (۵) تغییرات کسر زیرکونیای منوکلینیک و کسر زیرکونیای تراگونال باقی مانده با دما نیز نشان داده شده است. این شکل بیانگر افزایش مقدار $m\text{-ZrO}_2$ با افزایش دما است. مطابق شکل کسر $m\text{-ZrO}_2$ تشکیل شده در 150°C بسیار جزیی است. اما با افزایش دما تا 155°C این مقدار با سرعت زیادی به 100% می‌رسد. از آن جایی که مقدار تشکیل $m\text{-ZrO}_2$ معیاری از تجزیه زیرکن است، می‌توان نتیجه گرفت که تجزیه زیرکن تا دمای 155°C به طور کامل اتفاق افتاده است. به طور



شکل ۶- تغییرات تخلخل ظاهری نمونه در دماهای مختلف زیتر

ایجاد تراکم منجر شود [۴].

کاهش تخلخل تا 1600°C به دلیل افزایش تراکم ناشی از زیتر ذرات اولیه است. علی‌رغم تشکیل مولایت در دماهای 1550°C و 1600°C همان طور که در بخش قبلی محاسبه شد، کسر مولایت تشکیل شده در حدی نیست که بتواند بر عامل تراکم پذیری غلبه کند. افزایش تخلخل در محدوده دمایی 1600°C تا 1650°C ، بیانگر غلبه واکنش و تشکیل مولایت بر تراکم پذیری است. البته نقش رشد دانه‌ها را با افزایش دما که منجر به ایجاد تخلخل می‌شود نیز باید در نظر گرفت. با افزایش دما تا 1700°C تخلخل مجددًا کاهش می‌یابد. علی‌رغم اینکه کسر مولایت تشکیل شده در این دما 100% است، عامل واکنش بر زیترپذیری غلبه نکرده است. در واقع با توجه به تأثیر دما بر نفوذ ذرات برای ایجاد تراکم، کاهش زیادی در تخلخل‌های ظاهری رخ می‌دهد.

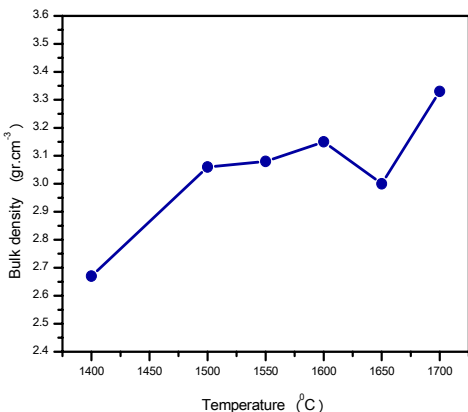
همچنین با توجه به اینکه برای کامپوزیت مولایت زیرکونیا در دماهای بالا، احتمال تشکیل فاز شیشه وجود دارد، فاز شیشه نیز به پرشدن تخلخل‌ها کمک می‌کند. همان‌طور که مشاهده می‌شود، سرعت کاهش تخلخل برای نمونه‌های زیتر شده در دمای 1700°C نیز نسبت به سایر محدوده‌های دمایی زیاد است.

در شکل (۷) نیز تغییرات دانسیته کلی نمونه‌ها با افزایش

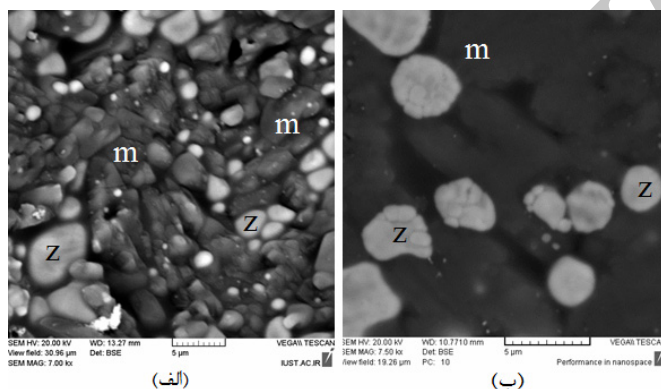
پرداخته شده است.

مطابق شکل (۶) با افزایش دما تا 1600°C درصد تخلخل کاهش می‌یابد. در محدوده دمایی 1600°C تا 1650°C افزایش تخلخل رخ می‌دهد. با افزایش دما تا 1700°C تخلخل مجددًا کاهش می‌یابد.

مخلوط‌های Al_2O_3 - ZrSiO_4 قابلیت زیتر کمتری از مواد خام اولیه دارند. دلیل این موضوع همزمانی وقوع مرحله زیتر و واکنش است. به عبارتی مرحله زیتر ذرات ZrSiO_4 و Al_2O_3 تجزیه زیرکن و تشکیل مولایت، تقریباً همزمان با هم اتفاق می‌افتد. حتی زیتر دو مرحله‌ای یعنی افزایش دما تا حدود 1450°C و نگهداری به مدت ۱ ساعت در این دما برای انجام زیتر و افزایش دما تا 1575°C برای انجام واکنش، چندان به بهبود تراکم پذیری نمونه کمک نمی‌کند، زیرا مرحله زیتر و تشکیل مولایت، تقریباً همزمان با هم اتفاق می‌افتد. در واقع در زیتر واکنشی، دو عامل زیتر و پیشرفت واکنش مقابله هم عمل می‌کنند. فاز اصلی این کامپوزیت یعنی مولایت، نسبت به مواد خام اولیه دانسیته کمتری دارد، بنابراین تشکیل آن باعث کاهش دانسیته می‌شود. و نیز چون پدیده نفوذ در مولایت کم است، به هر حال تشکیل آن برای ایجاد تراکم مضر است. همچنین هنگامی که محصولات واکنش بین دانه‌های واکنش‌گرهای اولیه تشکیل شود، ممکن است که زیتر پذیری کاهش یابد و به عدم



شکل ۷- تغییرات دانسیته کلی نمونه در دماهای مختلف زیتر



شکل ۸- ریزساختار نمونه های زیتر شده در (الف) ۱۶۰۰°C و (ب) ۱۷۰۰°C

می‌دهد. در این دما عامل واکنش و تشکیل فازها با دانسیته کمتر، تأثیر بیشتری بر دانسیته دارد. مجدداً با افزایش دما تا ۱۷۰۰ °C دانسیته نمونه بهبود می‌یابد. در اینجا نیز نقش زیتر بر دانسیته نمونه‌ها در محدوده دمایی ۱۴۰۰°C - ۱۷۰۰°C آشکار می‌شود، که افزایش دانسیته از مقدار 2.6 gr/cm^3 تا 3.3 gr/cm^3 می‌دهد. در این دما کامپوزیت‌هایی متراکم با حداقل کسر مولایت حاصل می‌شود. بنابراین در نمونه‌های زیتر شده در دماهای مختلف، کمترین درصد تخلخل، حداقل تراکم پذیری و بیشترین دانسیته در بالاترین دمای زیتر یعنی دمای ۱۷۰۰ °C حاصل شد.

۳-۳-۳- بررسی ریزساختار نمونه های زیتر شده

شکل (۸) تصویر میکروسکوپ الکترونی رویشی (SEM)،

دمای زیتر نشان داده شده است. مطابق شکل متناظر با کاهش تخلخل‌ها، دانسیته نمونه‌ها با افزایش دمای زیتر تا دمای ۱۶۰۰ °C افزایش می‌یابد. با توجه به این تغییرات، نقش کاهش تخلخل‌ها را حین افزایش دما که به تراکم پذیری نمونه منجر می‌شود، بر افزایش دانسیته آشکار می‌شود. در واقع علی‌رغم پیشرفت واکنش با افزایش دمای ۱۶۰۰°C همچنان دانسیته افزایش می‌یابد. البته توجه بیشتر به نمودار نقش واکنش‌ها بر دانسیته کامپوزیت را مشخص می‌کند. در محدوده دمایی ۱۵۰۰°C و ۱۵۵۰°C افزایش دانسیته بسیار کم است. این موضوع به دلیل پیشرفت زیاد واکنش در این محدوده دمایی است. اما با این حال در این محدوده نیز عامل واکنش نتوانسته بر عامل زیترپذیری غلبه کند.

مطابق با افزایش تخلخل در ۱۶۵۰°C کاهش دانسیته رخ

نمونه‌های زیتر شده در دمای 1600°C و 1700°C را نشان می‌دهد.

زیتر واکنشی مخلوط پودرهای آلمینیا و زیرکن، که با روش ریخته‌گری ژلی شکل دهی شدند، تهیه شد. با تنظیم pH، استفاده از پراکنده ساز بهینه و با روش فراوری مناسب، دوغاب‌های حاوی محلول منومری و مخلوط پودرهای آلمینیا – زیرکن با بار جامد بالا، ویسکوزیته پایین و پایداری بالا تهیه شدند. در فرایند ریخته‌گری ژلی با توجه به مقادیر بهینه سایر تحقیقات، درصد وزنی محلول منومری اولیه (۱۵٪ وزنی)، نسبت منومر AM به پیوندساز عرضی (=) MBAM و همچنین بار جامد (۸۰٪ وزنی) ثابت برای آماده سازی دوغاب‌ها انتخاب شد. بررسی‌های فازی نشان داد که سرعت واکنش‌ها در دمای 150°C بسیار کم است و در این دما تجزیه زیرکن به طور جزیی اتفاق می‌افتد. همچنین فاز مولاپیت و زیرکونیات تترات‌گونال در این دما مشاهده نشد. با افزایش دما تا 1700°C سرعت انجام واکنش‌ها افزایش یافت و میزان مولاپیت تشکیل شده در این دما به صدرصد رسید. مقدار تشکیل این فاز در دمای 1600°C ، تنها ۴۰٪ بود. با افزایش دما بالای 1700°C ، مقدار زیرکونیات تترات‌گونال باقی مانده کاهش یافت. و در 1700°C ، مقدار آن به صفر رسید. در مقادیر ثابت مواد آلی و بار جامد بالا، تغییرات زیادی در میزان تراکم پذیری و درصد تخلخل‌ها با افزایش دما مشاهده شد. علی‌رغم اینکه بار جامد و مقدار مواد آلی و نیز شرایط آماده سازی تمامی نمونه‌ها یکسان بود، کاهش قابل توجهی در تخلخل ظاهری از مقدار ۳۸٪ در دمای 130°C تا مقدار ۴٪ در دمای 1700°C رخ داد. این موضوع نقش زیتر را در کاهش تخلخل‌ها برجسته می‌کند و نیز بیانگر حساس بودن فرایند زیتر واکنشی به دما است. همچنین نوع فازهای تشکیل شده و مقدار آن‌ها، فاز شیشه و تخلخل‌ها از عوامل مؤثر بر دانسیته کامپوزیت‌های مولاپیت – زیرکونیا بود. تشکیل مولاپیت و فاز شیشه که دانسیته کمتری را نسبت به مواد اولیه دارند و به طور واضح تخلخل‌ها منجر به کاهش دانسیته شد. مشاهده شد که حداقل تراکم پذیری و بیشترین دانسیته در بالاترین دمای زیتر یعنی دمای 1700°C حاصل شد.

مطابق شکل (۸) ریزساختار حاوی دو فاز با رنگ‌های متمایز است. فاز خاکستری رنگ که زمینه را تشکیل می‌دهد، فاز مولاپیت (m) را نشان می‌دهد و دانه‌های سفید پراکنده در فاز زمینه، دانه‌های زیرکونیا (z) را نمایان می‌کنند. در ریزساختار نشان داده شده، شکل دانه‌های مولاپیت به گونه‌ای است که دارای محورهای هم اندازه هستند که مشخصه تشکیل از فاز جامد است. در صورتی که مشخصه تشکیل از فاز مایع، شکل سوزنی ذرات مولاپیت است [۴]. همچنین ریزساختار کامپوزیت نشان دهنده وجود ذرات زیرکونیا در دو موقعیت بین دانه‌ای و درون دانه‌ای است. اغلب دانه‌های زیرکونیایی به صورت بین دانه‌ای هستند و تعداد کمی از آن‌ها در مکان‌های درون دانه‌ای واقع شدنند.

زیرکونیایی بین دانه‌ای آن‌های دارای اندازه ذرات بزرگی است و شکل مشخصی ندارد. در حالی که ذرات زیرکونیایی درون دانه‌ای دارای ابعاد کوچکتری هستند و شکل اغلب آن‌ها شبیه کروی است. ابعاد ذرات زیرکونیایی درون دانه‌ای اغلب کمتر از $1\text{ }\mu\text{m}$ است. اندازه زیرکونیایی منوکلینیک حدود $1\text{ }\mu\text{m}$ است، این موضوع نشان می‌دهد که ذرات زیرکونیایی تترات‌گونال اغلب در مواضع درون دانه‌ای قرار می‌گیرند و کمتر در مکان‌های بین دانه‌ای [۴] این موضوع بیانگر این است، هنگامی که حین زیتر، زیرکن به زیرکونیات تترات‌گونال و سیلیس آمورف تجزیه می‌شود، حین تشکیل مولاپیت، دانه‌های زیرکونیایی که درون دانه‌های مولاپیت حبس می‌شوند از رشد آن‌ها توسط دانه‌های مولاپیتی جلوگیری می‌شود. شکل ذرات زیرکونیایی بین دانه‌ای به شرایط تشکیل فازی و رشد بستگی دارد [۱۲]. در نمونه زیتر شده در 1700°C شکل این ذرات نسبت به نمونه زیتر شده در 1600°C به حالت کروی بسیار نزدیک‌تر هستند. کروی بودن شکل ذرات بیانگر رشد آن‌ها در حضور فاز مایع است.

۴- نتیجه‌گیری

در تحقیق حاضر کامپوزیت مولاپیت – زیرکونیا از طریق

واژه‌نامه

- | | | |
|-------------------------------|-----------------------------|------------------|
| 1. mullite-zirconia composite | 5. gel casting | 9. monomer |
| 2. reaction sintering | 6. reactive alumina | 10. acrylamide |
| 3. zircon int | 7. poly methacrylate sodium | 11. cross linker |
| 4. alumina | 8. dispersant | |

مراجع

1. Temoche, F., Garrido, L., and Aglietti, E., Processing of Mullite-Zirconia Grains for Slip Cast Ceramics,” Ceramics International, Vol. 37, 2005. pp. 917-922, 2005.
2. Richard, H., and Hannik, J., “Transformation Toughening in Zirconia-Containing Ceramics,” J. Am. Ceram. Soc., Vol. 83, pp. 461-87, 2000.
3. Hartmut, S., and Sridhar, K., “Mullite,” WILEY-VCH, 2005.
4. Boch, P., and Giry, J., “Preparation and Properties of Reaction-Sintered Mullite-ZrO₂ Ceramics,” Materials Science and Engineering, Vol. 71, pp. 39-48, 1985.
5. Bhattacharjee, S., and Singh, S., and Galgali, R., “Preparation of Zirconia Toughened Mullite by Thermal Plasma”, Materials Letters, Vol. 43, pp. 77-80, 2000.
6. عبادزاده، ت، ”مولایت و سرامیک‌های مولایتی“؛ تهران کاوش پرداز، ۱۳۸۷.
7. Rahaman, M., “The Handbook of Ceramic Engineering”, Marcel Dekker, 1998..
8. Mark, A., Weiju R., and Stephen D., “Gelcast Tooling: Net Shape Casting and Green Machining Materials & Manufacturing Processes,” Vol. 13, pp. 389-403, 2008.
9. Ebadzadeh, T., Ghasemi, E., “Effect of TiO₂ Addition on the Stability of t-ZrO₂ in Mullite-ZrO₂,” Ceramic Internatinal, Vol. 28, pp. 447-450, 2002.
10. Bradecki, A., and Jonas, S., “Investigation of High-Temperature Reactions Within the ZrSiO₄-Al₂O₃ System”, Ceramics International, Vol. 36, pp. 211-214, 2010.
11. Aksel, C., Mechanical Properties and Thermal Shock Behaviour of Alumina-Mullite-Zirconia and Alumina-Mullite Refractory Materials by Slip Casting, Ceramics International, 2003: pp. 311-316.
12. Ebadzadeh, T., Ghasemi, E., “Influence of Starting Materials on the Reaction Sintering of Mullite-ZrO₂ Composites,” Materials Science and Engineering, Vol. 283, pp. 289-297, 2000.